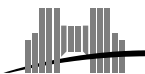


# Méthodologies et outils pour l'évaluation des protocoles de transport dans les réseaux très haut débit

Romaric GUILLIER

LIP, École Normale Supérieure de Lyon, INRIA, UMR 5668, France

Soutenance de thèse – 29 Octobre 2009



UNIVERSITÉ DE LYON

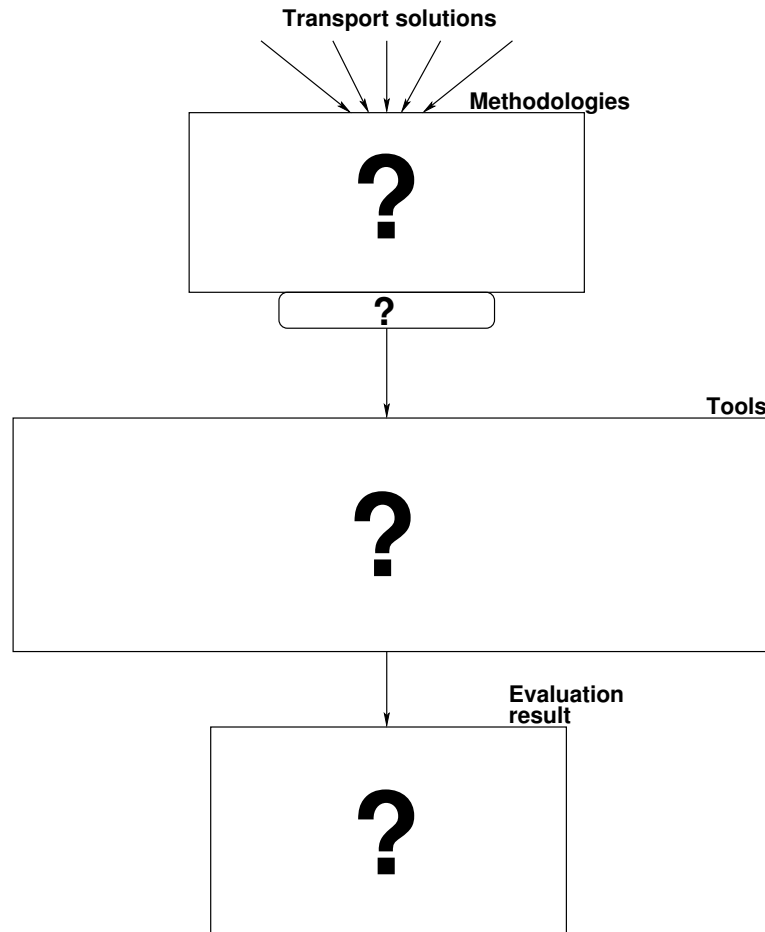


# Contexte

## Futur de l'Internet

- Omniprésence d'Internet et du protocol TCP.
- Evolution des technologies réseau: sans fil, fibre à la maison
- Evolution des usages: multimédia, cloud
- TCP mal adapté à ces évolutions.
- Emergence d'une grande variété de solutions.
- Quel va être l'impact de ces évolutions sur Internet ?

# Problèmatique



# Contexte scientifique

- International Workshop serie on Protocols for Future, Large-Scale & Diverse Network Transports (PFLDNeT) since 2003
- OGF DT-RG (research group): A Survey of Transport Protocols other than “Standard” TCP - informational document : GFD 55 [2005]
- TMRG IRTF workgroup since 2005: Models for the Evaluation of Transport Protocols

# Contributions

- ① Synthèse des solutions de transport très haut débit.
- ② Méthodologie d'évaluation.
- ③ Collection d'expériences à large échelle.
- ④ Outil d'automatisation.
- ⑤ Définition d'un benchmark pour transport haut débit.
- ⑥ Outil d'analyse de configuration de transport.

# Plan

- 1 TCP dans les réseaux très haut débit
- 2 Méthodologie d'évaluation
- 3 Expériences à grande échelle
- 4 Benchmark orienté utilisateur

# Plan

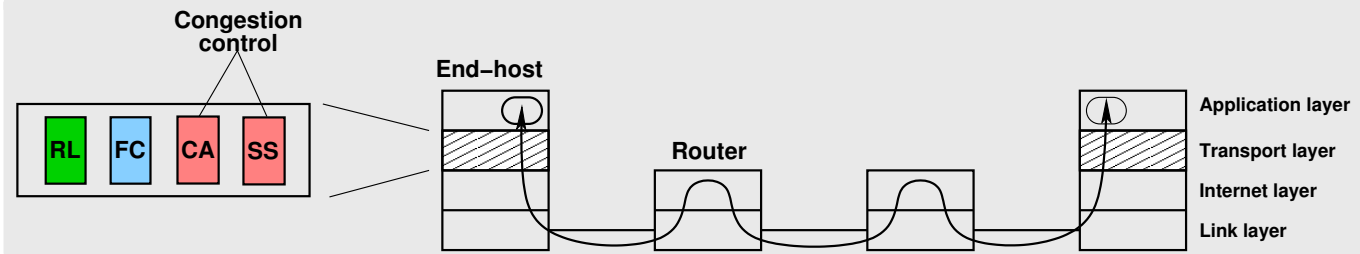
1 TCP dans les réseaux très haut débit

2 Méthodologie d'évaluation

3 Expériences à grande échelle

4 Benchmark orienté utilisateur

# Rôle fondamental de TCP dans l'Internet



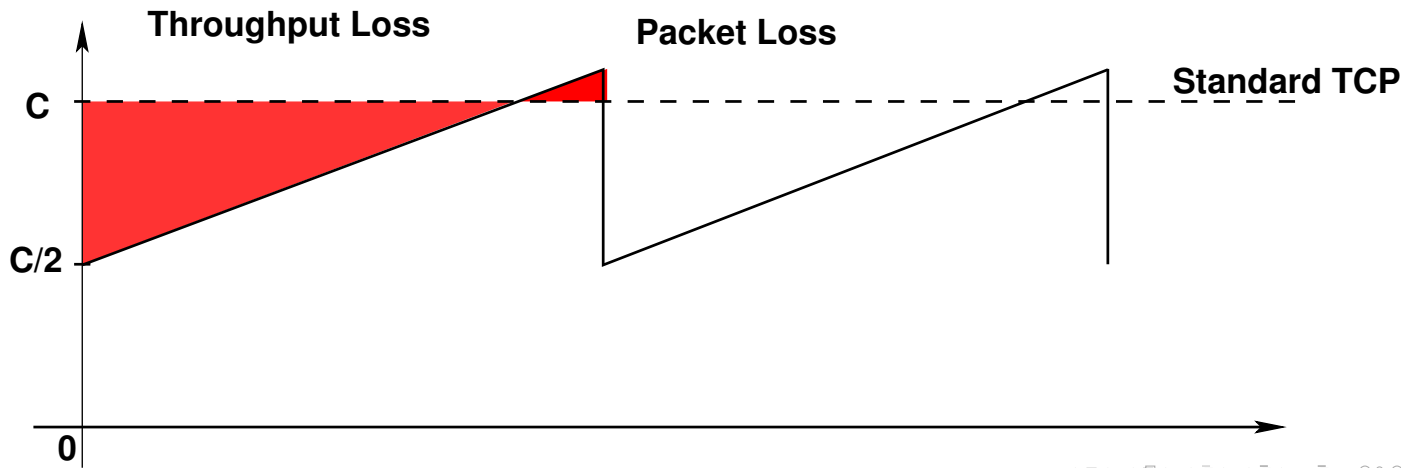
- TCP fournit: transfert **fiable**, contrôle de flux et contrôle de congestion [TCP 81, Cerf 74] de bout-en-bout
- Algorithme complètement **distribué** dans les hôtes d'extrémité (extensibilité)
- **Robuste**
- Partage **équitable** des liens [Bonal 01]
- Contrôle de congestion **stable** [Chiu 89]

# Principe du contrôle de congestion dans TCP

Débit régulé par un mécanisme de fenêtre glissante à anticipation.

Evolution de la fenêtre de congestion de TCP (AIMD) [Jacobson 88]

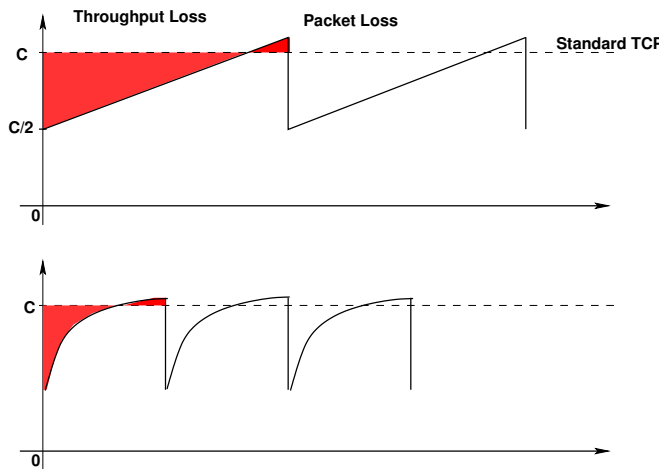
- ACK :  $cwnd \leftarrow cwnd + \frac{\alpha}{cwnd}$
- Drop :  $cwnd \leftarrow cwnd - \beta * cwnd$
- Reno[Jacobson88] :  $\alpha = 1; \beta = \frac{1}{2}$



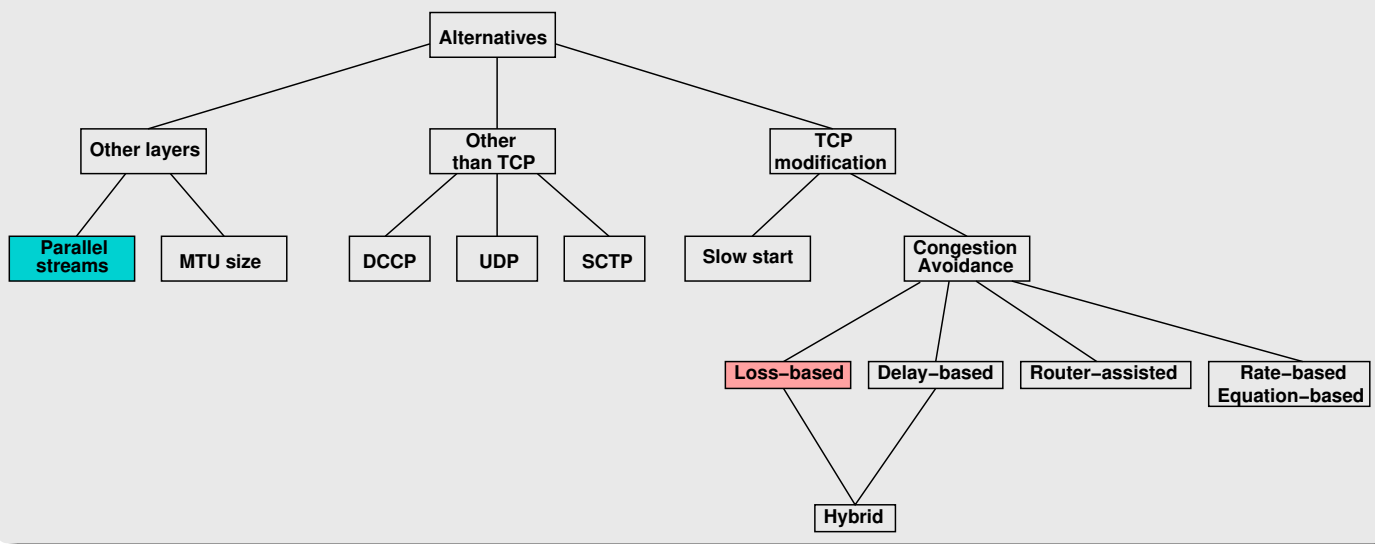
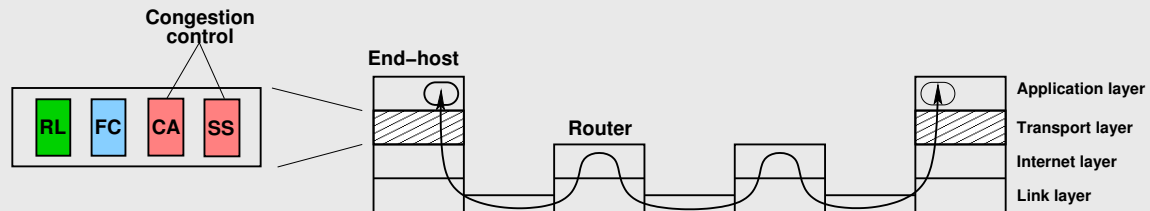
# Principe du contrôle de congestion dans TCP

## Limites de TCP dans les réseaux à fort produit débit-délai

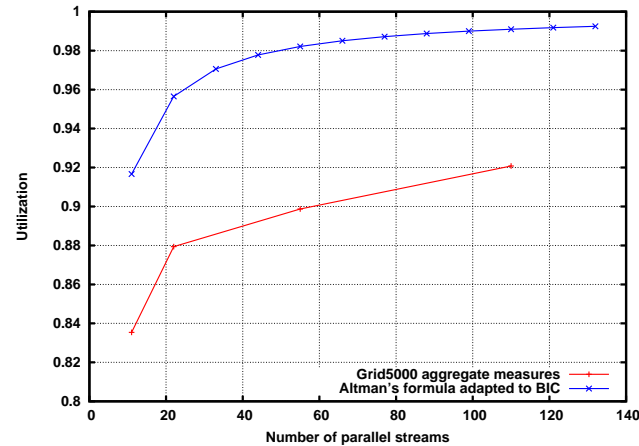
- Modèle simplifié de TCP:  $\text{Rate} = \frac{MSS}{RTT} \sqrt{\frac{3}{2p}}$  [Padhye 98]
- Avec un RTT de 100 ms et des paquets de 1500 octets, au plus une perte tous les 5e9 paquets pour atteindre un débit stable de 10 Gbps.
- Taille de fenêtre moyenne autour de 83000 paquets à 10 Gbps.
- Une “dent de scie” met environ 1h30.



# Solutions alternatives à TCP



# Utilisation de flux parallèles



$$\text{Altman's formula [Altman 06]} \bar{x}(N) = C \left( 1 - \frac{1}{1 + \frac{1+\beta}{1-\beta} N} \right)$$

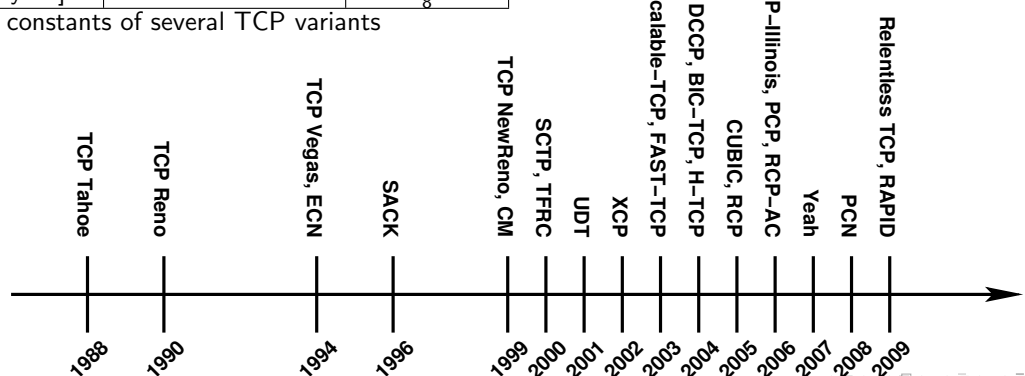
| Number of streams by node  | 1       | 2       | 5       | 10      |
|----------------------------|---------|---------|---------|---------|
| Total number of streams    | 11      | 22      | 55      | 110     |
| Mean total goodput (Mbps)  | 8353.66 | 8793.92 | 8987.49 | 9207.78 |
| Stream mean goodput (Mbps) | 761.70  | 399.83  | 163.53  | 83.71   |
| Goodput gain               | /       | 4.9%    | 7.3%    | 9.8%    |
| Jain Index per stream      | 0.9993  | 0.9979  | 0.9960  | 0.9973  |
| Jain Index per transfer    | 0.9993  | 0.9994  | 0.9998  | 0.9998  |

# Variantes de TCP

- Depuis 2002, plus de 10 variantes de TCP proposées.
- Implémentations disponibles (Linux, Windows)
- Modification de  $\alpha$  et  $\beta$  de l'AIMD pour augmenter l'agressivité.
- Besoin de s'assurer de la conservation des propriétés de TCP

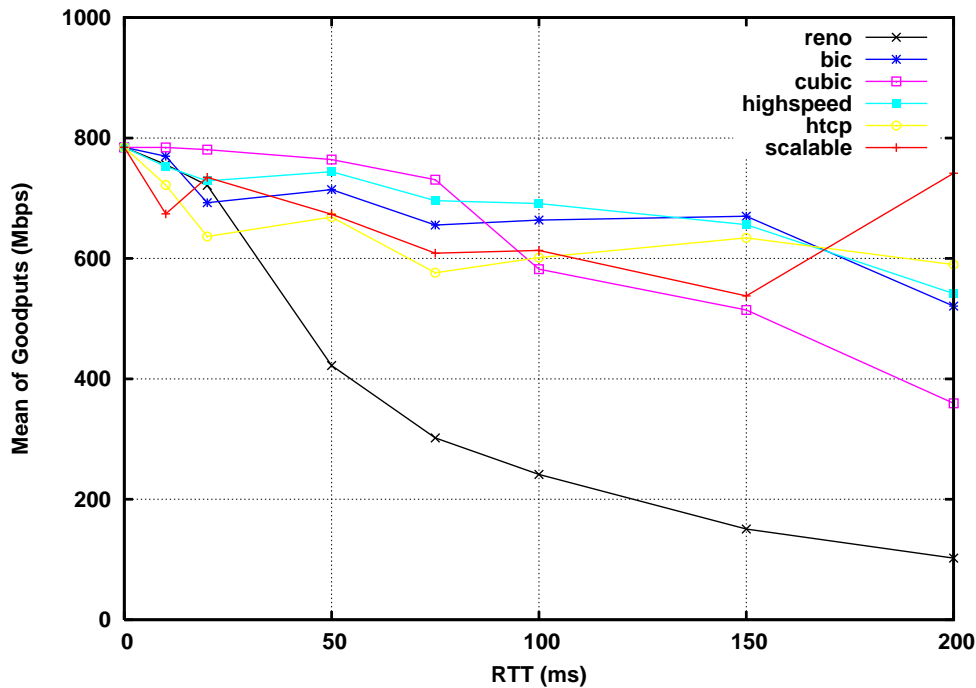
| TCP variant               | $\alpha$                  | $\beta$                           |
|---------------------------|---------------------------|-----------------------------------|
| TCP Reno [Jacobson 88]    | 1                         | $\frac{1}{2}$                     |
| BIC [Xu 04]               | 1 or <i>bin.search</i>    | $\infty$                          |
| CUBIC [Rhee 05]           | <i>cub(cwnd, history)</i> | $\frac{1}{5}$                     |
| HighSpeed TCP [Floyd 03]  | <i>inc(cwnd)</i>          | <i>decr(cwnd)</i>                 |
| Hamilton TCP [Shorten 04] | $f(last_{loss})$          | $1 - \frac{RTT_{min}}{RTT_{max}}$ |
| Scalable TCP [Kelly 03]   | $0.01 * cwnd$             | $\frac{1}{\infty}$                |

AIMD constants of several TCP variants

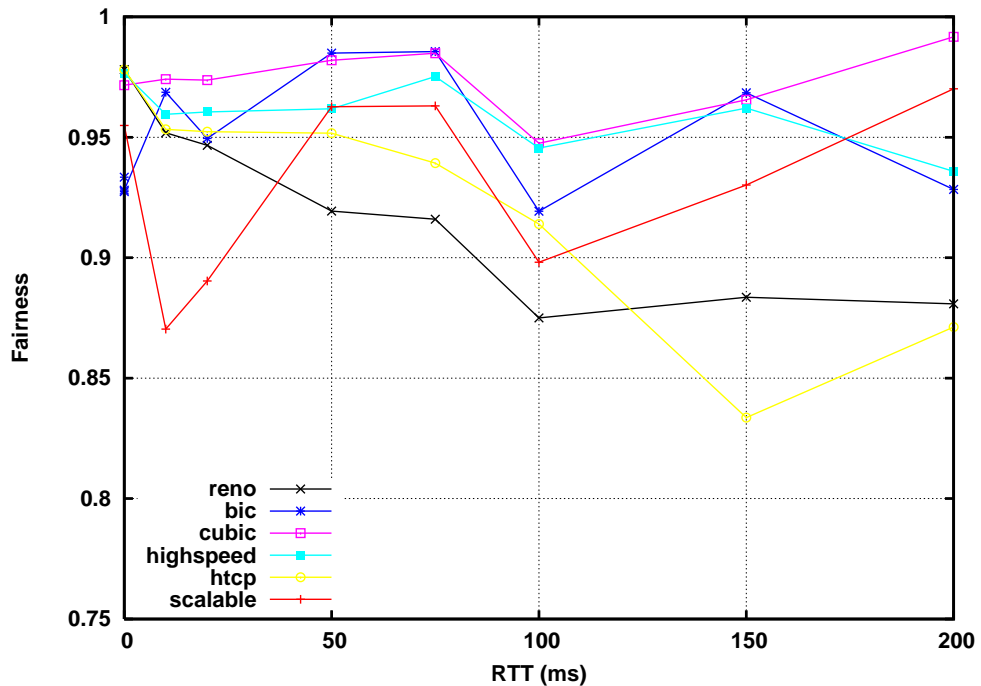


# Impact de la latence sur le débit applicatif moyen

12 sources à 1 Gbps partageant un lien à 10 Gbps. Latence émulée.



# Impact de la latence sur l'équité (indice de Jain)



# Synthèse des expériences préliminaires

| RTT      | Flow mean goodput |        | Mean fairness |        | Normalised standard deviation |        |
|----------|-------------------|--------|---------------|--------|-------------------------------|--------|
|          | 11.5 ms           | 100 ms | 11.5 ms       | 100 ms | 11.5 ms                       | 100 ms |
| Reno     | 756.0             | 234.3  | 0.951         | 0.918  | 0.222                         | 0.232  |
| BIC      | 781.1             | 653.7  | 0.969         | 0.919  | 0.176                         | 0.306  |
| CUBIC    | 784.5             | 534.3  | 0.974         | 0.961  | 0.144                         | 0.140  |
| HS-TCP   | 753.6             | 671.9  | 0.960         | 0.962  | 0.069                         | 0.233  |
| H-TCP    | 722.2             | 686.1  | 0.953         | 0.926  | 0.230                         | 0.256  |
| Scalable | 674.0             | 540.4  | 0.870         | 0.955  | 0.337                         | 0.317  |

- Ecartez (ou pas) certaines variantes ?
- Critères de comparaison ?
- Besoin de définir une **méthodologie**

# Plan

1 TCP dans les réseaux très haut débit

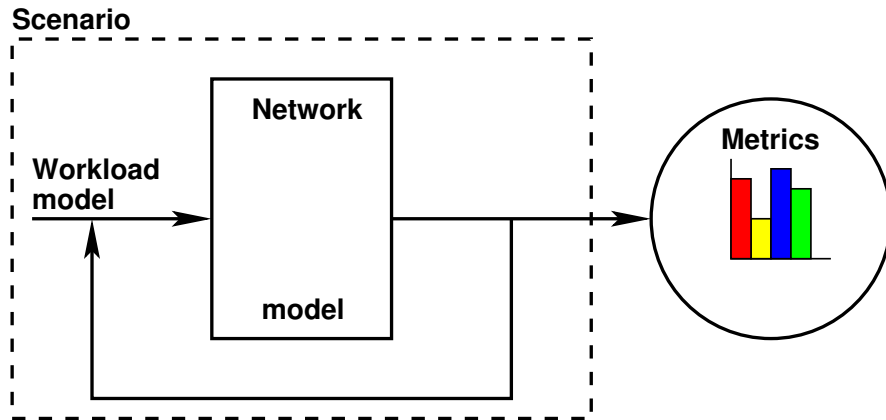
2 Méthodologie d'évaluation

- Metriques
- Modèles de réseaux
- Modèles de charge
- Illustrations

3 Expériences à grande échelle

4 Benchmark orienté utilisateur

# Principes généraux de l'évaluation de solutions de transport



**Metrics:** valuation des propriétés recherchées

**Modèle de réseau:** organisation et grandeurs caractéristiques de l'infrastructure physique

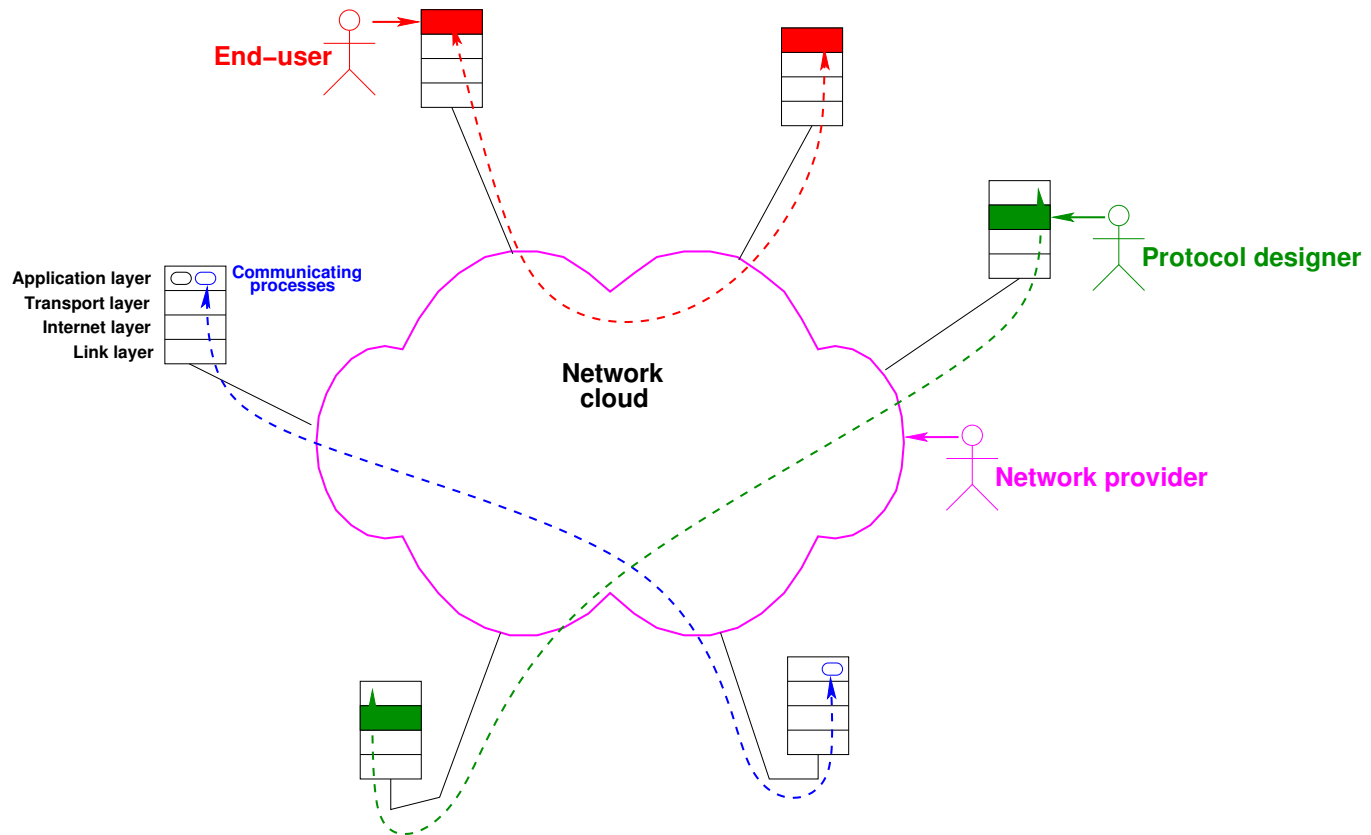
**Modèle de charge:** caractérisation de l'utilisation de l'infrastructure physique

# Métriques

Issu des travaux du groupe TMRG [Andrew 08, Flo 07, Flo 06]

| Metric type        | Metric name            | Formula   |
|--------------------|------------------------|---|
| <b>Throughput</b>  | Aggregate goodput      | $G(t) = \sum_{i=1}^N g_i(t)$  |
|                    | Aggregate throughput   | $X(t) = \sum_{i=1}^N x_i(t)$  |
|                    | Efficiency             | $E(t) = \frac{G(t)}{X(t)}$  |
| <b>Reactivity</b>  | Responsiveness         | $R = \min_u \{ u   x_i(t + u * RTT) \leq \frac{x_i(t)}{2}$  |
|                    | Average responsiveness | $\overline{R_X} = \max_t \{ t :  \frac{\sum_i x_i(t) - \sum_i \bar{x}_i}{\sum_i \bar{x}_i}  > 0.1 \}$ |
|                    | Aggressiveness         | $A = \max \{ x_i(t + RTT) - x_i(t) \}$  |
| <b>Stability</b>   | Goodput variance       | $\sigma_i = \sqrt{\frac{1}{T_i} \sum_{t=0}^{T_i} (g_i(t) - \bar{g}_i)^2}$                             |
|                    | Throughput smoothness  | $S = \max  x_i(t) - x_i(t + \delta_t) $   |
|                    | Goodput CoV            | $CoV_i = \frac{\sigma_i}{\bar{g}_i}$  |
| <b>Fairness</b>    | Jain Index             | $J = \frac{(\sum_{i=1}^N \bar{g}_i)^2}{N(\sum_{i=1}^N \bar{g}_i^2)}$                                  |
| <b>Convergence</b> | Convergence speed      | $s_{cwnd_i} = \min_u \{ u   cwnd_i(t + u * RTT) \leq .8 * BDP \}$                                     |

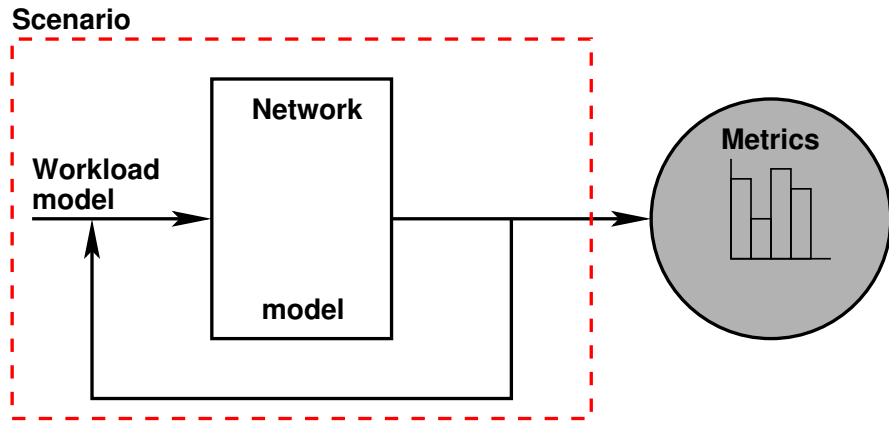
# Points de vue



# Metriques et points de vue

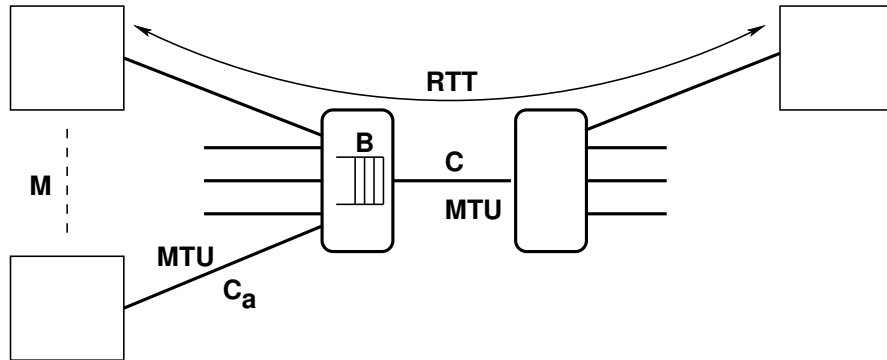
| Metrics of    | End User                                    | Protocol Designer  | Network Provider                                     |
|---------------|---|--|--|
| Throughput    | Goodput <b>G</b> , Completion time <b>T</b> | Cong. window <b>cwnd</b><br>Throughput <b>X</b><br>Efficiency <b>E</b> | Throughput <b>X</b> , Link utilization <b>U</b> ,    |
| Delay         | RTT   | Queueing delay <b>q</b>  | Queueing delay <b>q</b>                              |
| Loss          | Timeouts events <b>t</b>                    | Packet loss rate <b>p</b>  | Packet loss rate <b>p</b>                            |
| Reactivity    | Aggressiveness <b>A</b>                     | Responsiveness <b>R</b><br>Aggressiveness <b>A</b>                     | Aggressiveness <b>A</b>                              |
| Stability     | Variance $\sigma$                           | Variance $\sigma$<br>Smoothness <b>S</b>                               | Coeff. of Variation <b>CoV</b>                       |
| Fairness      | Delta-fair convergence $\delta_f$           | Jain Index <b>J</b>  | Max-min, Proportional,<br>$\alpha$ -fairness         |
| Convergence   | N/A   | Convergence Speed <b>s</b>   | N/A  |
| Robustness    | Retransmission <b>r</b>                     | Performability $p_S$ [Meyer 80]  | Kolmogorov-Smirnov statistic $\theta_w$ [England 05] |
| Deployability | Application modification                    | Code complexity  | Hardware upgrades complexity                         |

# Définition des modèles de réseaux et de charge



Capturer l'évolution de la structure et de l'usage du système.

# Paramètres réseaux



| Parameter           | Description               | Typical range in the Internet                      | Actor |
|---------------------|---------------------------|--|-------|
| $RTT$               | Round Trip Time           | 0 to 300 ms (land-line)<br>0 to 800 ms (satellite) | U-D-N |
| $C$                 | Bottleneck capacity       | 56 kbps to 40 Gbps                                 | D-N   |
| $B$                 | Buffer size               | 20 % BDP to 100 % BDP                              | D     |
| $K = \frac{C}{C_a}$ | Aggregation level         | 1 to 10000   | N     |
| $M$                 | Multiplexing factor       | 1 to 1000  | N     |
| $MTU$               | Maximum transmission unit | 1500 B to 9000 B                                   | U-D-N |

# Paramètres de charge

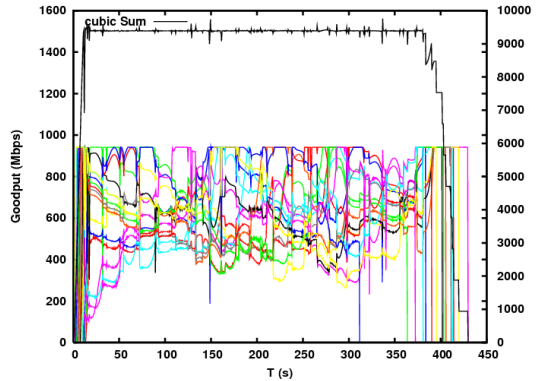
| Parameter | Description           | Typical Range in the Internet | Actor |
|-----------|-----------------------|-------------------------------|-------|
| $C_g$     | Congestion level      | 0 to 2.0                      | D-N   |
| $R$       | Reverse traffic level | 0 to 2.0                      | D-N   |
| $B_g$     | Background traffic    | 0 to 0.8                      | D-N   |
| $N_s$     | Parallel streams      | 0 to 10                       | U-D   |

## Définition

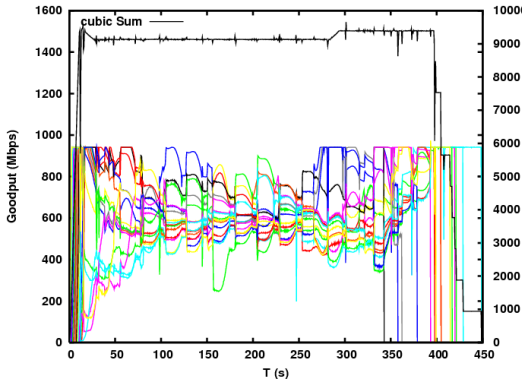
- def1:  $C_g = \frac{N_{sources} * C_a}{C}$
- def2:  $C_g = \sum_{sources} \frac{C_a}{C} * \frac{\mu_{ON}}{\mu_{OFF} + \mu_{ON}}$

# Influence du trafic reverse sur Cubic (150 % cong. lvl)

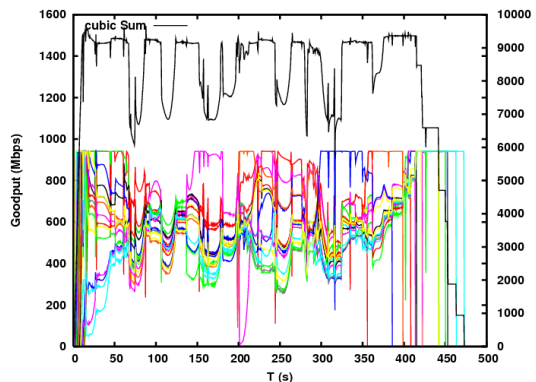
No reverse (395 s)



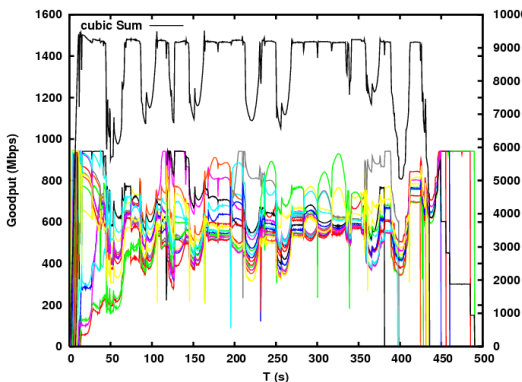
90 % reverse (400 s)



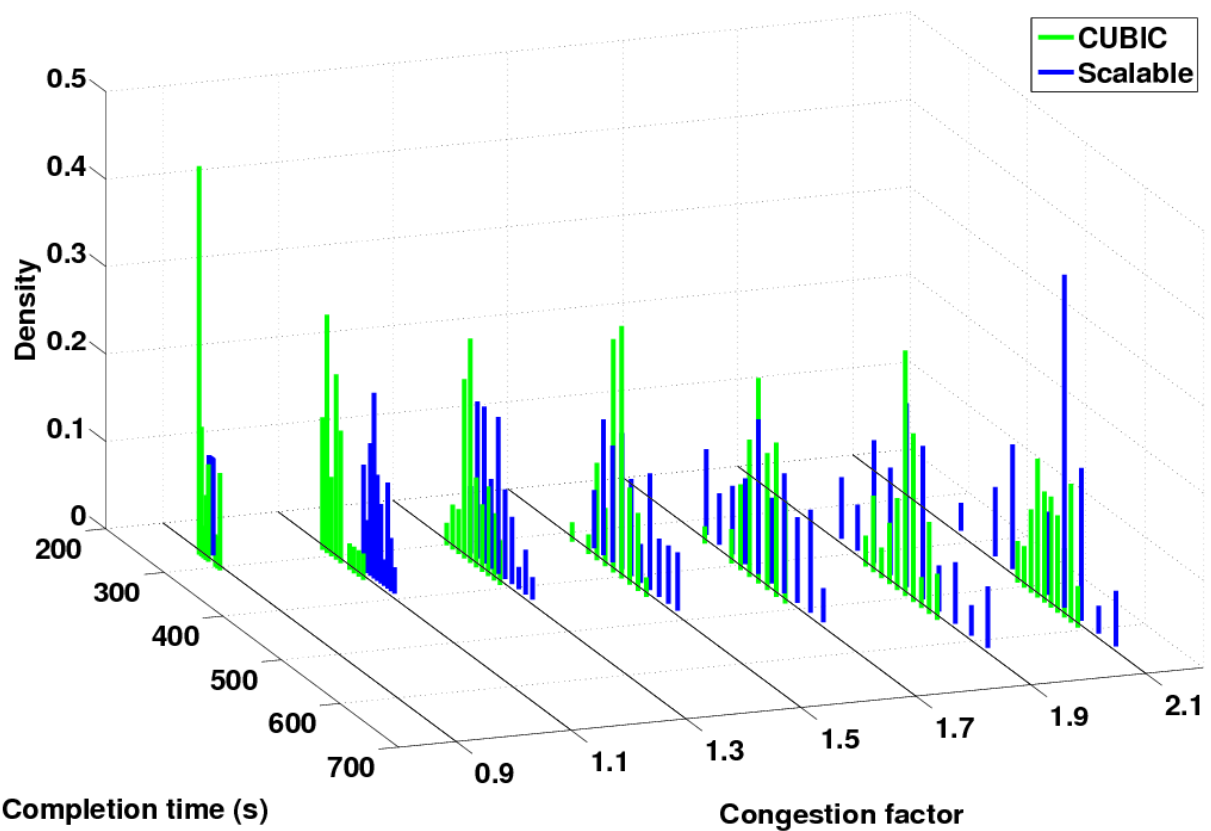
110 % reverse (432 s)



150 % reverse (438 s)



# Distribution des temps de compléction



# Plan

1 TCP dans les réseaux très haut débit

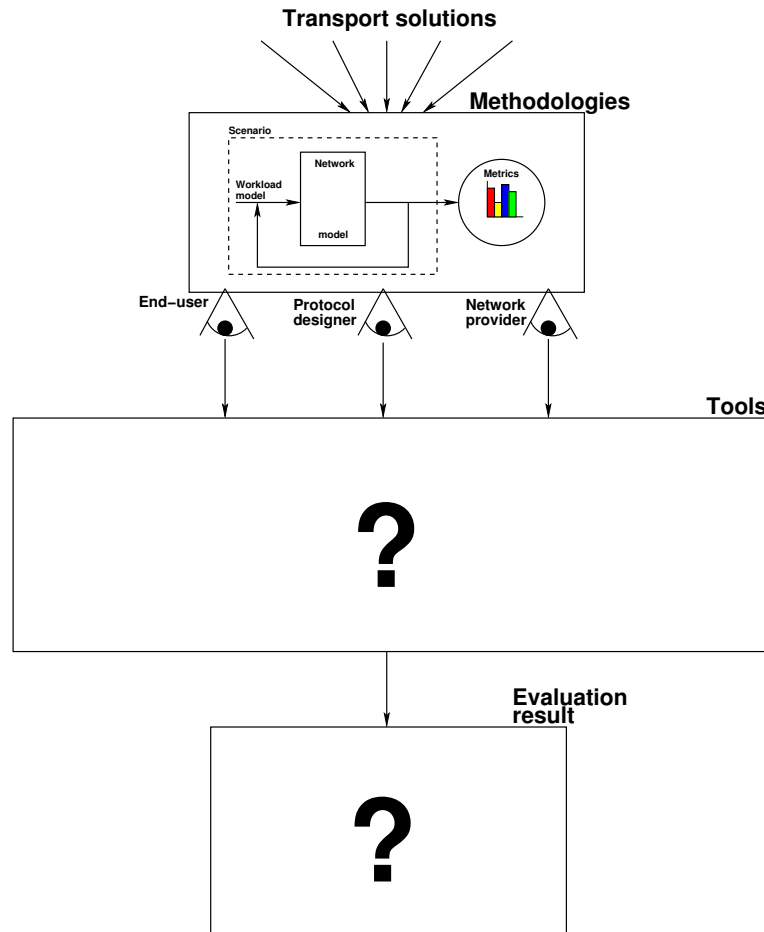
2 Méthodologie d'évaluation

3 Expériences à grande échelle

- Network eXperiment Engine
- NS-2 vs. NXE

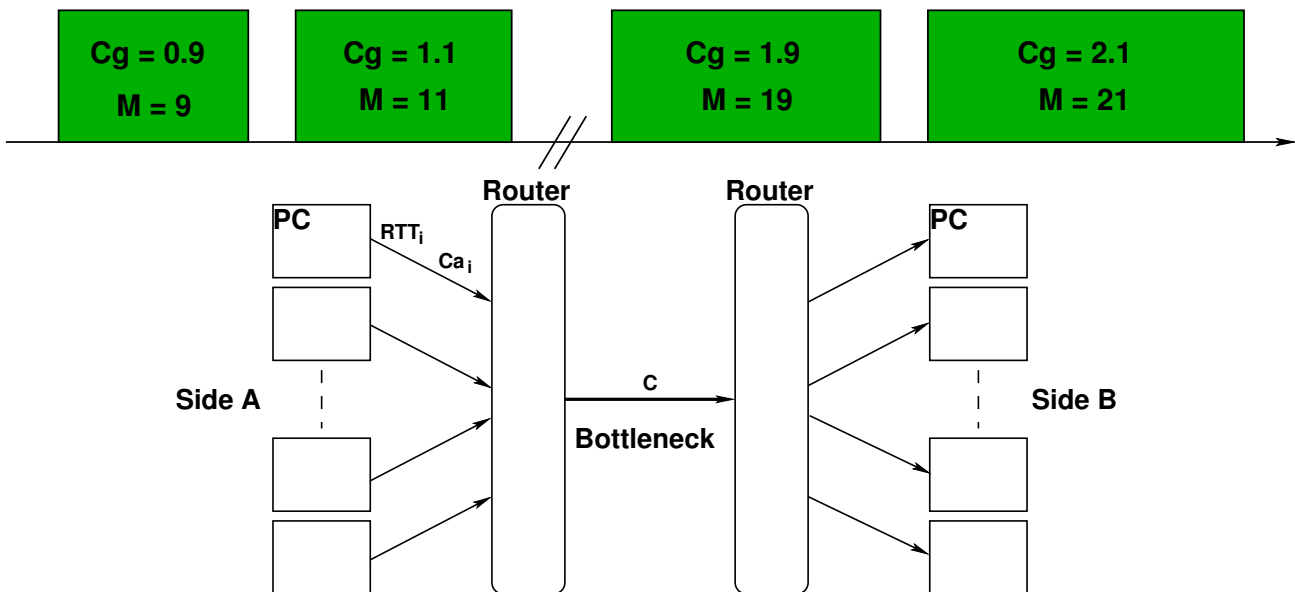
4 Benchmark orienté utilisateur

# Retour à la problématique

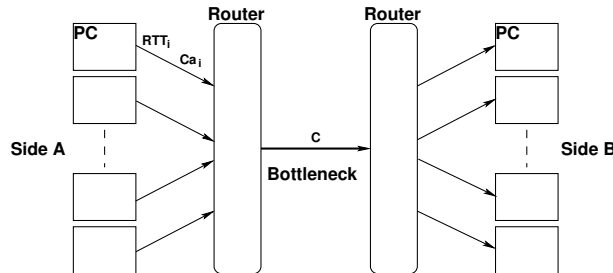


# Impact des conditions de trafic

Etude de l'**impact des conditions de trafic** (congestion, trafic reverse) sur le temps de complétion de transfers de fichiers de 3000 MB [Guillier 07c]. Jusqu'à 42 sources indépendantes, émettant simultanément.



# Espace paramètrique



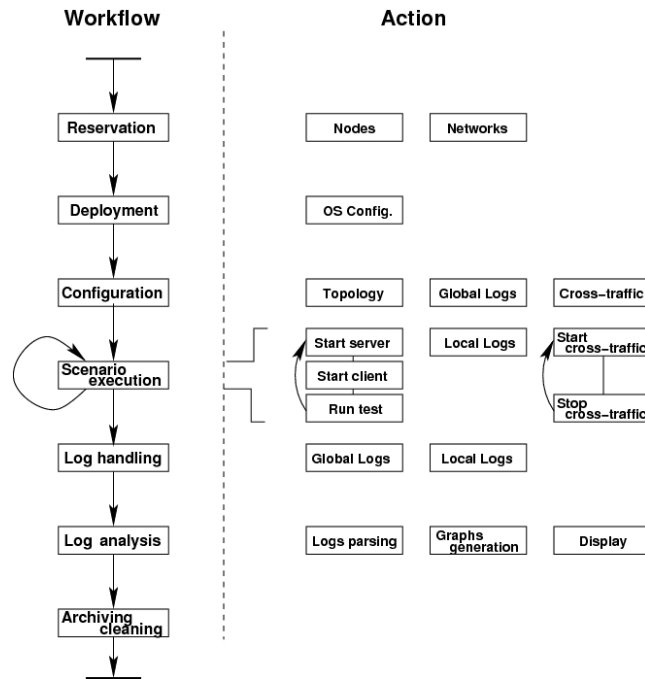
|                       | Parameter           | Description            | Range        |
|-----------------------|---------------------|------------------------|--------------|
| <b>Infrastructure</b> | RTT                 | Round Trip Time        | 0 to 200 ms  |
|                       | C                   | Bottleneck capacity    | 1 or 10 Gbps |
|                       | $K = \frac{C}{C_a}$ | Aggregation lvl        | 1 or 10      |
| <b>Workload</b>       | M                   | Multiplexing factor    | 1 to 20      |
|                       | $N_s$               | Parallel streams       | 1 to 10      |
|                       | $C_g$               | Congestion factor      | 0 to 2.0     |
|                       | R                   | Reverse traffic factor | 0 to 2.0     |

- Très vaste espace paramètrique.
- Multiplication des expériences pour validité statistique.
- Besoin d'un outil pour automatiser ce processus.

# Etapes du déroulement d'une expérience

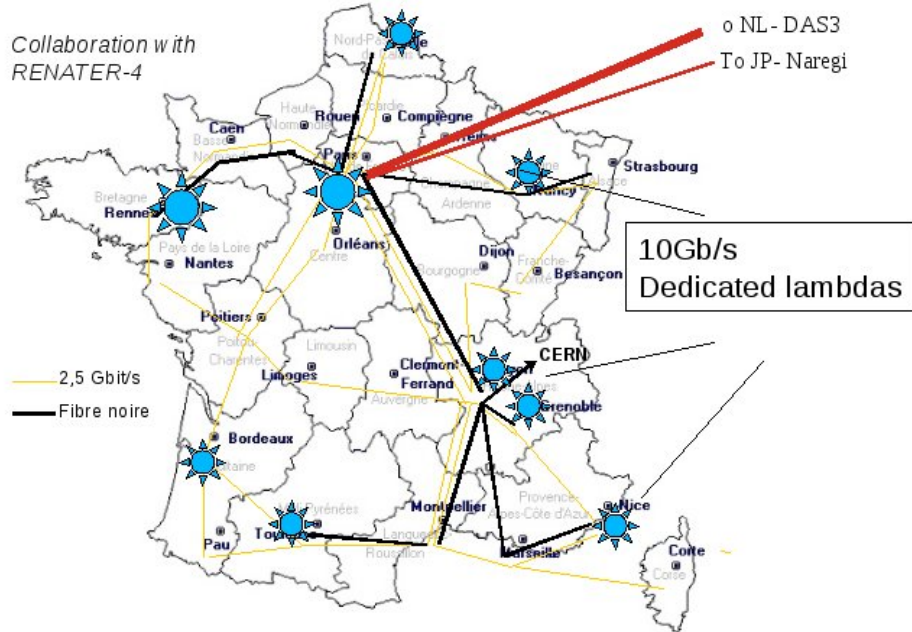
- ① **Réservation:** récupération des resources.
  - 2 à 100 noeuds
- ② **Deploiement:** phase de configuration des variables internes de l'OS.
  - 5 à 10 variables
- ③ **Configuration:** modification de la topologie, activation de la capture d'informations.
- ④ **Execution du scenario:** plusieurs fois si nécessaire.
  - durée de quelques seconds à plusieurs heures
  - 1 à 10 répétitions
- ⑤ **Gestion des logs:** récupération des logs.
  - volume de quelques KB à plusieurs GB
- ⑥ **Analyse des logs:** calcul des métriques, génération des graphes.
- ⑦ **Archivage**

# Outil Network eXperiment Engine



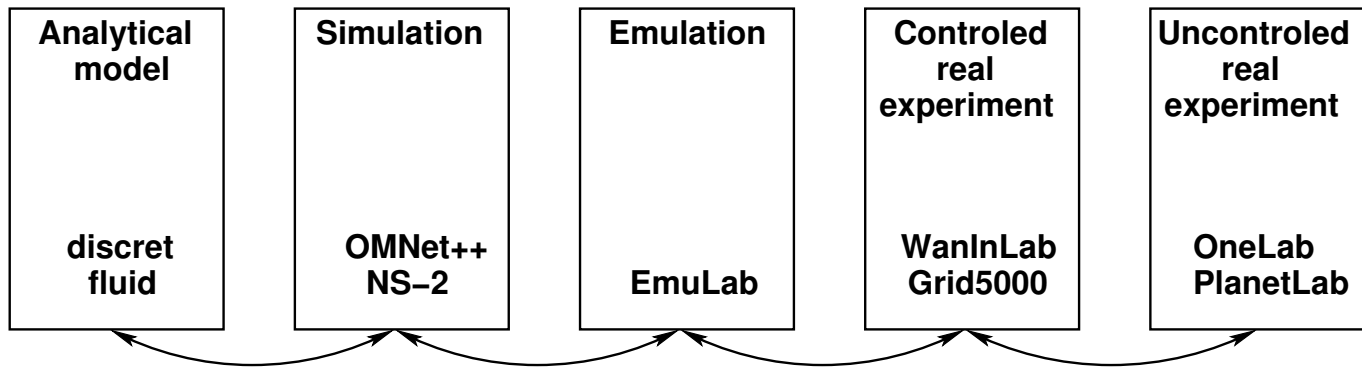
- codé en Python/shell script.
- Utilisateurs dans Grid'5000.
- disponible <http://www.ens-lyon.fr/LIP/RESO/Software/NXE/index.html>

# Plateforme expérimentale Grid'5000 [Bolze 06]



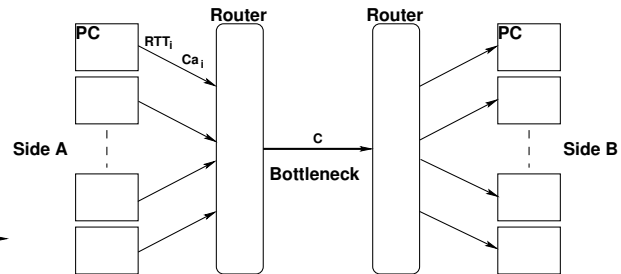
- 9 sites in France, 17 laboratories involved
- 5000 CPUs (currently 3300)
- Private 10Gbps Ethernet over DWDM network
- Experimental testbed for Networking to Application layers.

# Différentes méthodes d'évaluation



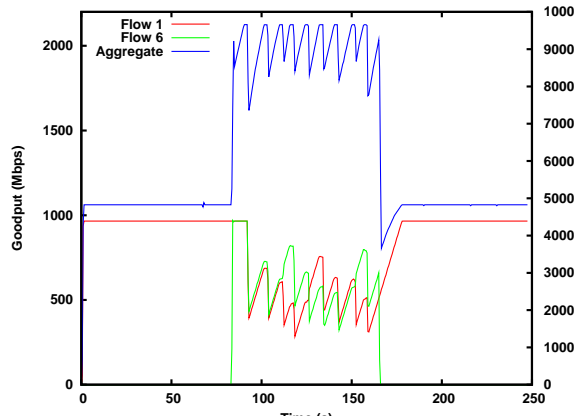
- Avantages/limites de chaque méthode
- Complémentaires
- Comparaison possible des différentes approches ?

# Comparaison NS-2 and NXE

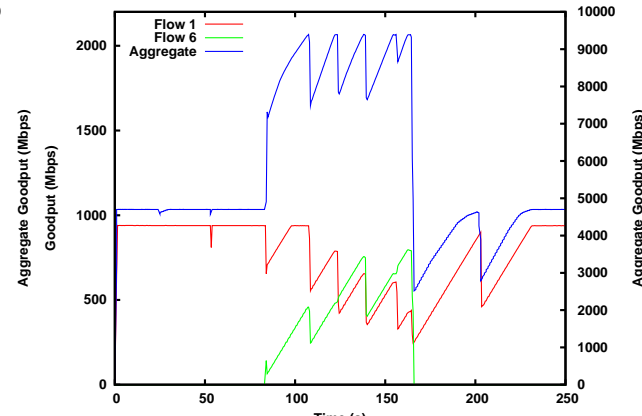


- Jusqu'à 12 sources 1 Gbps partageant un lien à 10 Gbps.
- 20 ms RTT
- Chaque période dure  $\sim 82$  s (total  $\sim 250$  s).
- TCP Reno

# Réultats NS-2 et NXE

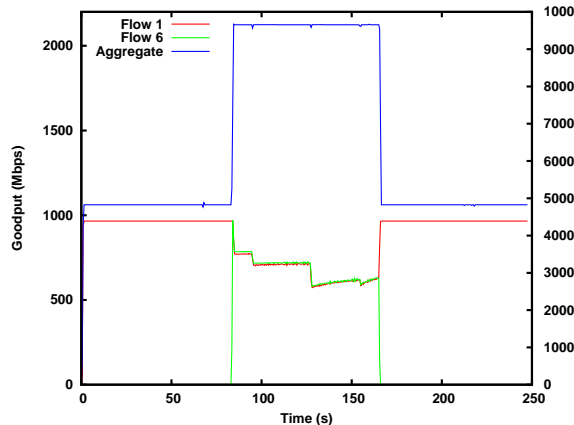


NS-2 (small buffers 170 paquets)

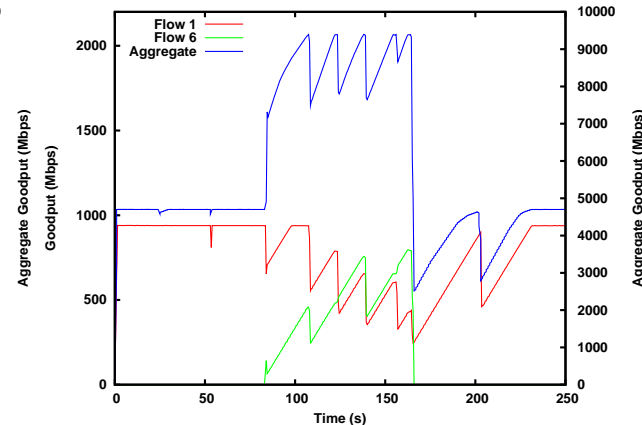


NXE

# Réultats NS-2 et NXE



NS-2 (large buffers 17000 paquets)



NXE

# Comparaison NS-2 et NXE: temps d'exécution

| Tool | Experiment setup (s) | Experiment execution (s) | Experiment post-processing (s) | Total (s) |
|------|----------------------|--------------------------|--------------------------------|-----------|
| NS-2 | 1                    | 2360                     | 5                              | 2366      |
| NXE  | 460 (12)             | 260                      | 10                             | 730 (282) |

- NS-2: temps d'execution exponentiel [Wei 06]
- coût machine pour 10 répétitions:
  - NS-2: 1 noeud pendant 6h40mn → 6h40mn
  - NXE: 12 noeuds pendant 54mn → 10h48mn
- NXE: conditions de la plateforme expérimentale
  - expérience avec des vraies applications.
  - interactions entre le logiciel et le matériel.
  - influence de paramètres non capturés par la simulation.

# Plan

- 1 TCP dans les réseaux très haut débit
- 2 Méthodologie d'évaluation
- 3 Expériences à grande échelle
- 4 Benchmark orienté utilisateur

# Lignes directrices

## But

Comparaison de la performance relative de plusieurs solutions alternatives.

Exemple: NAS pour les implémentations de MPI.

TMRG test-suite orienté protocol-designer de TCP.

## Propriétés voulues

**Facile à utiliser**

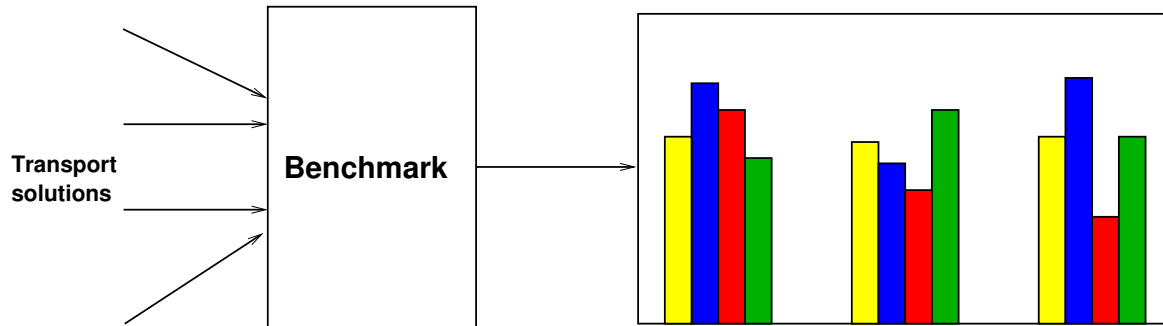
**Représentatif**

**Portable**

**Reproductibilité**

**Bien défini**

# Cahier des charges



**Mean completion time:**  $\bar{T} = \frac{1}{N} \sum_{i=1}^{N_f} T_i$

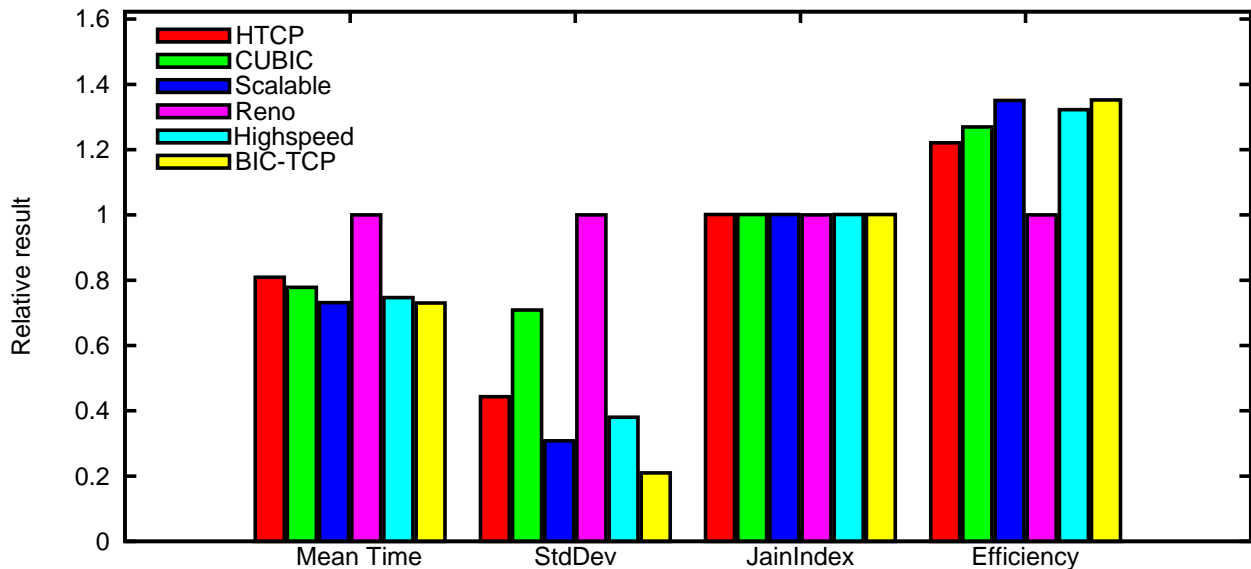
**Standard deviation of completion time:**  $\sigma_{T_i} = \sqrt{\frac{1}{N} \sum_{n=1}^{N_f} (T_n - \bar{T})^2}$

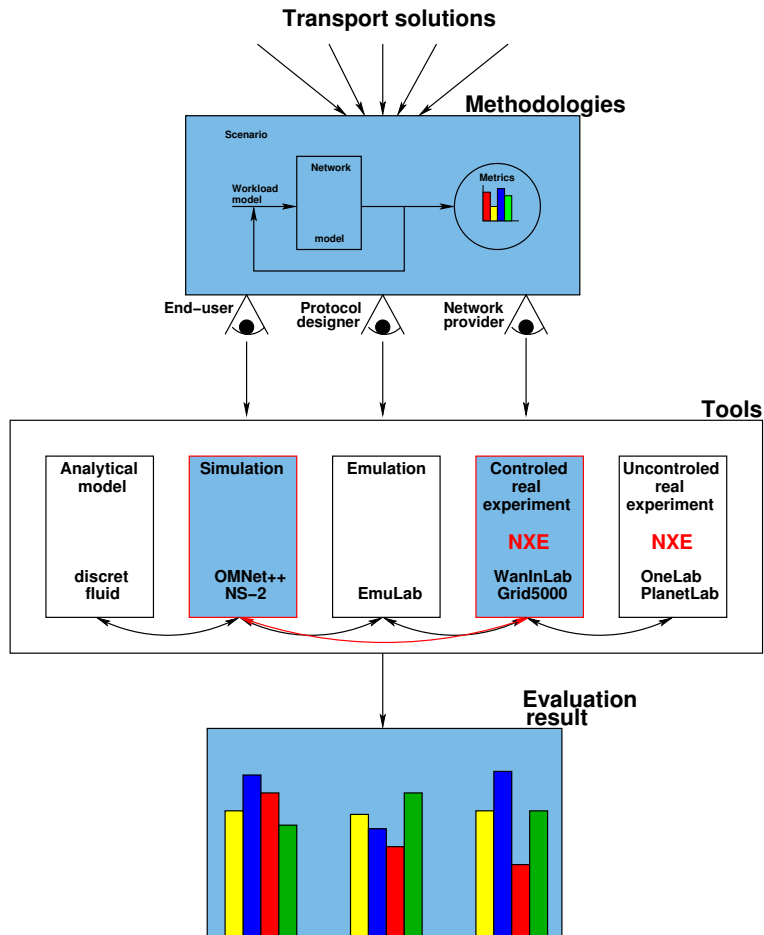
**Fairness:**  $J = \frac{(\sum_{i=1}^N \bar{T}_i)^2}{N(\sum_{i=1}^N \bar{T}_i^2)}$

**Efficiency:**  $E(t) = \frac{G(t)}{C}$

# Exemple [Guillier 07b]

HSTTS Result graph for BU with 19.8ms RTT, Cg=1.0 and R=1.0 with reference Reno





# Conclusions

- Impact non négligeable des problèmes de configuration (wizard gap)
  - Solutions qui marchent bien: flux parallèles, multipath mais aggressives
  - Nouvelles variantes: performances dépendent de certaines caractéristiques non maîtrisables du réseau.
  - Partage équitable de la bande passante bloquant ?
- 
- Fournir les outils pour détecter (expérimentalement) quelle solution convient à une situation donnée.

# Contributions

- ① Synthèse des solutions de transport pour le très haut débit.
  - 1 article journal (en cours)
  - 1 chapitre de livre (en cours)
- ② Méthodologies d'évaluation.
  - 1 article journal (en cours)
  - 1 publication internationale [Guillier 08b]
- ③ Expériences à large échelle.
  - 4 publications internationales [Guillier 07a, Soudan 07a, Soudan 07b, Guillier 07d]
  - 2 rapports de recherche [Guillier 06, Guillier 09a]
  - 1 démonstration [Guillier 08a]
- ④ Outil d'automatisation.
  - 1 publication internationale [Loiseau 09a]
  - 1 logiciel libre [Guillier 09c]
  - 1 démonstration [Loiseau 09b]
- ⑤ Définition de benchmarks.
  - 2 publications internationales [Andrew 08, Guillier 09b]
  - 1 démonstration [Guillier 07e]
- ⑥ Outil d'analyse de configuration.
  - 1 brevet (valorisation start-up LinkTiss) [Guillier 09d]

# References I

-  Eitan Altman, Dhiman Barman, Bruno Tuffin & Milan Vojnovic.  
*Parallel TCP Sockets: Simple Model, Throughput and Validation.*  
In Proceedings of the IEEE INFOCOM, 2006.
-  Lachlan Andrew, Cesar Marcondes, Sally Floyd, Lawrence Dunn, Romaric Guillier, Wang Gang, Lars Eggert, Sangtae Ha & Injong Rhee.  
*Towards a Common TCP Evaluation Suite.*  
In PFLDNet, march 2008.
-  Raphaël Bolze, Franck Cappello, Eddy Caron, Michel Daydé , Frederic Desprez, Emmanuel Jeannot, Yvon Jégou, Stéphane Lanteri, Julien Leduc, Noredine Melab, Guillaume Mornet, Raymond Namyst, Pascale Vicat-Blanc Primet, Benjamin Quetier, Olivier Richard, El-Ghazali Talbi & Touché Irena.  
*Grid'5000: a large scale and highly reconfigurable experimental Grid testbed.*  
International Journal of High Performance Computing Applications, vol. 20, no. 4, pages 481–494, November 2006.
-  T. Ronald, S. Ben Fredj, A. Proutiere, G. Regnle & J.W. Roberts.  
*Statistical Bandwidth Sharing: A Study of Congestion at Flow Level.*  
In SIGCOMM. ACM, Aug. 2001.
-  V. Cerf & R. Kahn.  
*A Protocol for Packet Network Intercommunication.*  
In IEEE Transactions on Communications, volume 22, pages 637–648, may 1974.
-  D. Chiu & R. Jain.  
*"Analysis of the Increase/Decrease Algorithms for Congestion Avoidance in Computer Networks.*  
Journal of Computer Networks and ISDN, vol. 17, no. 1, pages 1–14, June 1989.
-  Darin England, Jon Weissman & Jayashree Sadagopan.  
*A new Metric for Robustness with Application to Job Scheduling.*  
In High Performance Distributed Computing, Jul. 2005.

# References II

-  *Tools for the Evaluation of Simulation and Testbed Scenarios.*  
In Sally Floyd & E Kohler, éditeurs, <http://www.icir.org/tmrg/draft-irtf-tmrg-tools-03.txt>, December 2006.
-  *Metrics for the evaluation of Congestion Control Mechanisms.*  
In Sally Floyd, éditeur, <http://www.icir.org/tmrg/draft-irtf-tmrg-metrics-11.txt>, October 2007.
-  Sally Floyd.  
*RFC 3649: HighSpeed TCP for Large Congestion Windows.*  
RFC 3649, December 2003.  
experimental.
-  Romaric Guillier, Ludovic Hablot, Pascale Vicat-Blanc Primet & Sébastien Soudan.  
*Evaluation des liens 10 GbE de Grid'5000.*  
Research Report 6047, INRIA, 12 2006.
-  Romaric Guillier, Ludovic Hablot, Yuetsu Kodama, Tomohiro Kudoh, Fumihiro Okazaki, Ryousei Takano, Pascale Vicat-Blanc Primet & Sébastien Soudan.  
*A study of large flow interactions in high-speed shared networks with Grid5000 and GtrcNET-10 instruments.*  
In PFLDnet 2007, Feb. 2007.
-  Romaric Guillier, Ludovic Hablot & Pascale Vicat-Blanc Primet.  
*Towards a User-Oriented Benchmark for Transport Protocols Comparison in very High Speed Networks.*  
Research Report 6244, INRIA, 07 2007.  
Also available as LIP Research Report RR2007-35.
-  Romaric Guillier, Sébastien Soudan & Pascale Vicat-Blanc Primet.  
*TCP variants and transfer time predictability in very high speed networks.*  
In Infocom 2007 High Speed Networks Workshop, May 2007.
-  Romaric Guillier, Sébastien Soudan & Pascale Vicat-Blanc Primet.  
*TCP variants and transfer time predictability in very high speed networks.*  
In Infocom 2007 High Speed Networks Workshop, May 2007.

# References III

-  Romaric Guillier & Pascale Vicat-Blanc Primet.  
High Speed Transport Protocol Test Suite.  
poster, SuperComputing 2007, November 2007.
-  Romaric Guillier & Pascale Vicat-Blanc Primet.  
Congestion Collapse in Grid5000.  
demo, "The Future of TCP: Train-wreck or Evolution?", Stanford Congestion Collapse workshop, April 2008.
-  Romaric Guillier & Pascale Vicat-Blanc Primet.  
*Methodologies and Tools for Exploring Transport Protocols in the Context of High-Speed Networks.*  
In IEEE TCSC Doctoral Symposium, May 2008.
-  Romaric Guillier, Sébastien Soudan & Pascale Vicat-Blanc Primet.  
*UDT and TCP without Congestion Control for Profile Pursuit.*  
Research Report 6874, INRIA, 03 2009.  
Also available as LIP Research Report RR2009-10.
-  Romaric Guillier & Pascale Vicat-Blanc Primet.  
*A User-Oriented Test Suite for Transport Protocols Comparison in DataGrid Context.*  
In ICOIN 2009, January 2009.
-  Romaric Guillier & Pascale Vicat-Blanc Primet.  
*NXE*, 2009.  
Software, APPcode: IDDN.FR.001.030005.000.S.P.2009.000.10800.
-  Romaric Guillier & Pascale Vicat-Blanc Primet.  
*PATHNIF.*  
Patent under study, 2009.
-  Romaric Guillier & Pascale Vicat-Blanc Primet.  
*PathNIF*, 2009.  
Software, APPcode: IDDN.FR.001.260002.000.S.P.2009.000.10800.

# References IV

-  Van Jacobson.  
*Congestion Avoidance and Control.*  
In SIGCOMM'88, 1988.
-  Tom Kelly.  
*Scalable TCP: Improving Performance in Highspeed Wide Area Networks.*  
In Computer Communication Review, volume 32, April 2003.
-  Patrick Loiseau, Paulo Gonçalves, Romaric Guillier, Matthieu Imbert, Yuetsu Kodama & Pascale Vicat-Blanc Primet.  
*Metroflux: A high performance system for analyzing flow at very fine-grain.*  
In TridentCom, Apr. 2009.
-  Patrick Loiseau, Romaric Guillier, Oana Goga, Matthieu Imbert, Paulo Goncalves & Pascale Vicat-Blanc Primet.  
*Automated Traffic Measurements and Analysis in Grid'5000.*  
demo, SIGMETRICS/Performance 2009, Recipient of Best Student Demo Award, June 2009.
-  John Meyer.  
*On Evaluating the Performability of Degradable Computing Systems.*  
In IEEE Transactions on Computers, volume 29, Aug. 1980.
-  J. Padhye, V. Firoiu, D. Towsley & J. Kurose.  
*Modeling TCP Throughput: A Simple Model and its Empirical Validation.*  
In ACM SIGCOMM '98, 1998.
-  Injong Rhee & Lisong Xu.  
*CUBIC: A New TCP-Friendly High-Speed TCP Variants.*  
In PFLDnet, 2005.
-  R.N. Shorten & Doug Leith.  
*H-TCP: TCP for high-speed and long-distance networks.*  
In PFLDnet'04, Argonne, Illinois USA, February 2004.

# References V

-  Sebastien Soudan, Romaric Guillier, Ludovic Hablot, Yuetsu Kodama, Tomohiro Kudoh, Fumihiro Okazaki, Ryousei Takano & Pascale Vicat-Blanc Primet.  
*Investigation of Ethernet switches behavior in presence of contending flows at very high-speed.*  
In PFLDnet 2007, Feb. 2007.
-  Sebastien Soudan, Romaric Guillier & Pascale Vicat-Blanc Primet.  
*End-host based mechanisms for implementing Flow Scheduling in GridNetworks.*  
In GridNets 2007, Oct. 2007.
-  *Transmission Control Protocol.*  
RFC 793, september 1981.
-  David X. Wei & Pei Cao.  
*NS-2 TCP-Linux: an NS-2 TCP implementation with congestion control algorithms from Linux.*  
In WNS2 '06: Proceeding from the 2006 workshop on ns-2: the IP network simulator, page 9, New York, NY, USA, 2006. ACM Press.
-  Lisong Xu, Khaled Harfoush & Injong Rhee.  
*Binary Increase congestion Control for Fast Long-Distance Networks.*  
In INFOCOM, 2004.